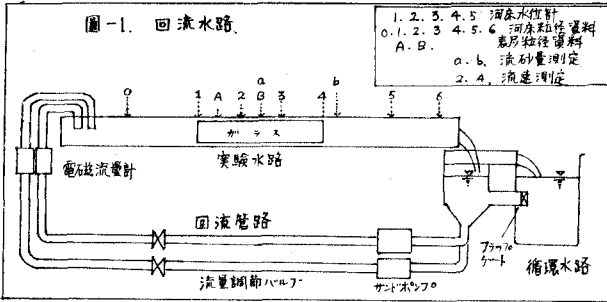


回流水路による混合砂礫の流送実験

電力中央研究所 ○ 浅田 宏
石川 晴雄

まえがき

混合砂礫床の流砂量を求めるにはその平均径または50%径を代表径として従来の流砂量式を用いて計算することが多い。しかしながらこの場合混合特性の影響をどのように導入すればよいか、あるいはその影響を導入し代表径を用いて計算して全流砂量を表わすことか出来るものかどうか必ずしも明らかでない。また粒径別に流砂量を計算して全流砂量を求めEinsteinの計算式も細砂に因する遷移係数が大きいから正しい結果を与えないといわれている。本実験はこのら問題をしらべるため、従来我国でよく用いられているEinstein式、土研式について主としてその適合性をしらべるために行つたものである。

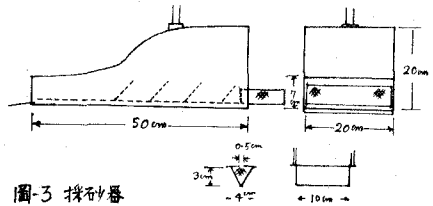
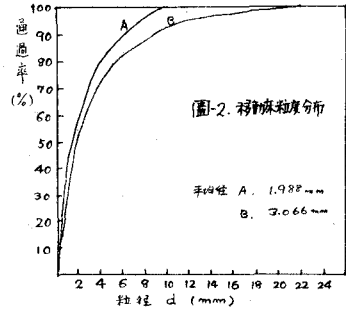


1. 実験水路および実験方法

実験に使用した水路は長さ39m、巾1m、深さ0.6mの可変勾配水路である。この水路はその下流端に下部水槽とこれに続いて流量100ℓ/秒のサニトポンプ2台、管径150mmの回流管路2本をまつ回流水路であつて、流

下した砂礫はすべて管路によって水路上流端にもたされるようになっている。(圖-1)

移動床は圖-2に示すような粒径分布をもつ粗砂を用い、これを水路上流端より6m、下流端より1mを距る32mの範囲に厚さ10cmに敷いて作った。実験は次のようにして行つた。先づ水路下流端のゲートも閉じ、移動床面を乱さないよう、少量の水を上流から入水、実験流量を与えるまでに砂が移動することのないよう充分な水深をとる。続いて実験流量を与え、あらかじめ計算した算流水深附近まで水位をさげ、水位が安定した後に圖-1に示した測定部で水路中心における流速垂直分布、流砂量、および水位、河床変化の測定した。また実験の前後には移動床の粒度分布をしらべるために6ヶ所の砂を採取した。流速の測定には光電式のフロー型低速計、水位河床変化の測定には超音波河床水位計を用いた。実験流量は30ℓ/秒~200ℓ/秒、水路勾配は1/500、1/1000の2ヶスである。



掃流砂の測定は圖-3に示すような採砂器を用いた。流砂が少く、細砂の掃流限界付近では圖中に示すスリット型の採砂器を併用した。流送の初期には水の濁りが少く水路側面(カヌ部)から流送状態を観察出来るから採砂器内に砂が充分捕捉されるまで測定時間をとった(最大10分程度)。流砂量が増加すると水は混濁し採砂状況は観察出来ない。この状態では測定時間を出来る限り短くとり(約10秒)、砂礫が採砂器を通過することのないよう、また採砂器を引上げるとき捕獲された砂の流失することのないようにした。なお移動床の砂礫はA、B2種を用いたが、各実験毎の河床の調整は行われなかった。そのため各流量の実験はその前の流量で形成された移動床で行った。

2. 実験結果の検討.

流砂計算に用いる摩撓速度 U_b は流速分布の対数則から求めた値 U_{bg} と平均水深、河床平均勾配、および水面勾配から求めた $U_{*H} = \sqrt{g H i_c}$ を比較して定めた。 U_{bg} では $k=0.4$ とした。また流量150%~200%では dune (波長約1~1.5m, 波高約3cm) が形成され、また浮遊砂が増加する。この範囲については U_{*H} を用いた。ただし dune による形数抵抗の補正は行われなかった。流砂量の測定は1実験について2~4回行ない平均値をとった。dune のあるときはその背面での測定値を用いた。

2-1 砂礫の移動限界

実験中の観察と流送砂中の最大粒径の分布から各粒径の砂礫の移動限界をしらべると圖-4の通りである。

これによれば粒径/mm以上の砂礫の移動限界はいずれも一杯砂床における移動限界(岩垣式)よりも小さい値を示している。なお砂礫の移動限界に関する Shields の係数 f_c は粗面の流れの抵抗則 $u_*^2/u_*^2 = 5.75 \log_{10} 30.2 \frac{y}{k_s}$ を用いると、 $f_c = 0.07 / (\log_{10} 19 \frac{d_i}{d_m})^2$ であらゆきある。(但し $k_s = d_m$, $y = ad_i$, $a = 0.63$, 揚力係数 $C_D = 0.4$ とする)。粒径20mm および10mmについて上式を用いて限界摩撓速度を求めると大体圖-4の値に近い値をとる。

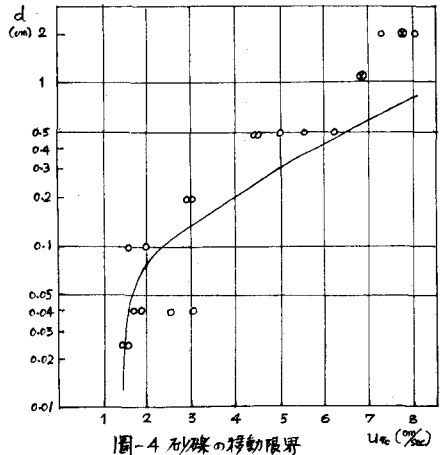


圖-4 砂礫の移動限界

2-2 移動床粒径分布と流送砂粒径分布

混合砂礫床では掃流力が小さいときには主として細い砂が流送され、掃流力の増加とともに流送砂の平均粒径は次第に大きくなる。実験水路では初めに流送された細砂は下流端から衝撃で先の移動床の下流面に堆積する。回流方式による実験ではその一部は回流されて上流にもどるが、今回の実験では上流6mの区間には移動床がないためにこの部分にも細砂が堆積した。従って実験の初期には補給砂の全くない状態がある。さらに流量が増加するとこれらの細砂は流送せしむようになり、このときにはこれらの細砂が移動床間からの流送砂に加わるために流送砂の粒度構成が移動床

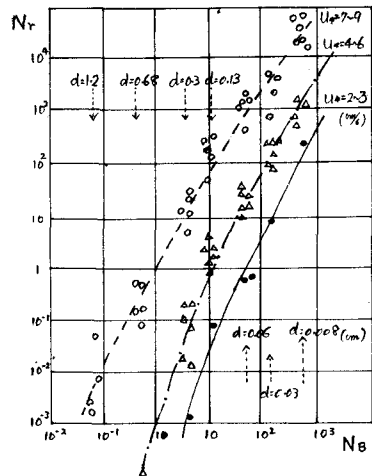


圖 1-5. 流送砂粒径分布と移動床粒径分布

のそれと関連の無いものとなるおそれがある。また回流部で砂礫の堆積あるいはその変動があるとするはさらにその影響が加わることと考えられる。この関係をしらべるために水路内の平均粒径分布と流砂の粒径分布の関係をプロットしたものが図-5である。ここで $N_r = \frac{800}{(\Psi)} d_i^2$, $N_0 = f(d_i) d_i^2$ である。これによれば流送砂の粒度構成は大体移動床の平均粒度構成に関連して変化しているのどみられる。

2-3 Einsteinの掃流因数

粒径別流砂量 q_{0i} について Einstein の掃流因数 Ψ^*
 $= \frac{q_{0i}}{f(d_i)} (\frac{f_i}{f} - g_{0i})^2 \Psi^* = \frac{g_i}{g} (\frac{g_i}{g})^2 \Psi^*$ の関係をプロットしたものが図-6である。ただしこの図では Ψ の代りの $\Psi = \frac{1}{10} \frac{q_{0i}}{u_*^2}$ を用いている。なお $\frac{g_i}{g} (\frac{g_i}{g})^2$ はそれと粒径の大きい砂礫による細砂の遮蔽係数および揚力に関する補正係数である。また圖中実線は理論値である。この結果によれば本実験では Ψ が大きくなると Ψ^* は理論値より小さくなり、 Ψ が小さい範囲では逆に理論値より大きくなる傾向がみられる。

そこで補正係数 $\frac{g_i}{g} (\frac{g_i}{g})^2$ に Einstein による値を用いて号を求め、 d_i/x との関係をしらべた。ここで X は $\frac{0.77 d_i^2}{x}$, $(\frac{d_i u_*}{11.6 v_*} > 100)$ である。その結果を圖-6に示す。Einstein によれば号は d/x が 15 以上では号 = 1 であり、 d/x がこれより小さくなるに従って号は大きくなり、 $d/x = 0.12$ で号 = 100 である。(圖-7実線)。今回の実験では $d/x = 1$ 以下の号の値はこの値より小さくなり、よくいわれているように Einstein の流砂式では細砂に対して号の値が大きすぎる傾向があるということを確認することができようである。さらにこの結果で d/x が 15 より大きくなると号は 1 より小さくなっている。このことは圖-4 に示した混合砂礫床では粒径の大きい砂礫はそれと同じ粒径で構成された一様砂礫床にある場合より移動し易いという傾向に関連するものと思われる。号も各粒径の砂礫の流送量にたいする補正係数とみて、圖-7において破線で示した値を用いれば本実験における流砂量測定値は圖-6において実線で示した Ψ^*/Ψ の関係で表わすことが出来る。なお圖-6のプロットを粒径別にみると各粒径について Ψ^*/Ψ の関係は大体実線に平行し、しかも比較的に集中している。

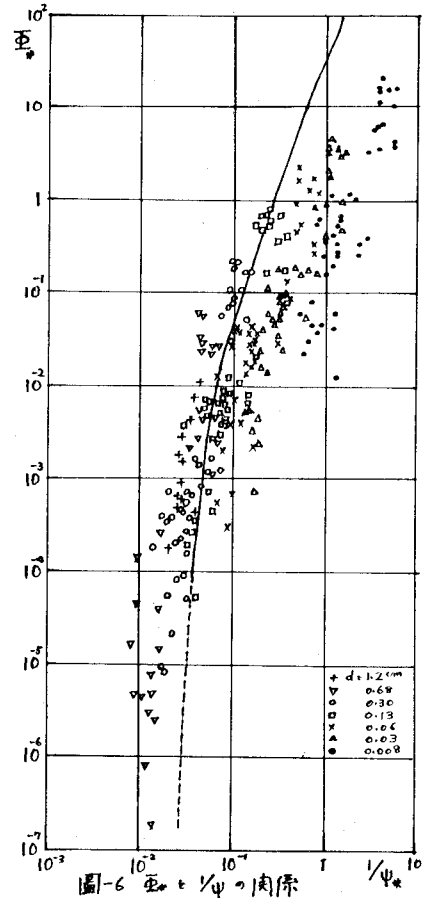


圖-6 Ψ^* と Ψ の関係

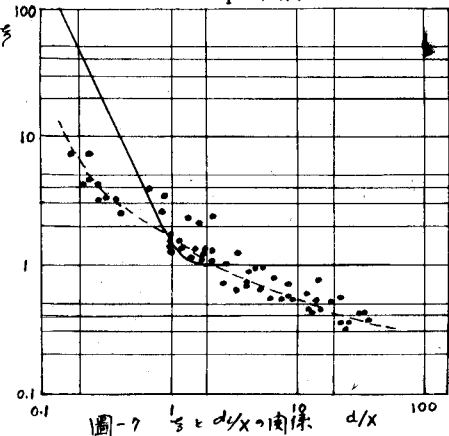


圖-7 $\frac{\Psi^*}{\Psi}$ と d/x の関係

2-4 粒径別流砂量と U_{*c} および $\tau \bar{u}$ との関係

佐藤吉川 芦田式(土研式)は全流砂量 $g_{or} = \psi \frac{\rho}{\rho - \rho_s} \cdot f(\bar{u}) \cdot \tau \cdot U_{*c}$ である。この式による混合砂の流砂量計算は普通河床平均径を用いる。土研式の関係は粒径別の流砂量にも成立つものとして $g_{or}/f(d_s)$ と U_{*c} の関係をプロットしたものが図-8 である。これによれば図-6 の \bar{u} と U_{*c} の関係と同程度のバラッキで粒径別流砂量と U_{*c} は関係づけられるようである。しかしこの関係では粒径別のプロットの分布は図-6、図-10 のようには明らかでない。本実験では各実験流量に対応する移動床平均径の限界摩擦速度 U_{*c} は一様床に肉する式で計算した場合の大部分 $U_{*c} > U_{*c}$ となる。

従って実際には流砂があるにも拘らずこの U_{*c} を流砂計算の規準値として用いると計算流砂量はほとんど0となってしまう。この関係を示したのが図-9 である。图中 \bullet は移動床平均径による値であるが、参考として流送砂平均径によつて計算した値を \circ で示した。

Bagnold によれば $g_{or} = e \tau \bar{u}$ 。 \bar{u} は平均流速、効率 $e = \alpha(1 - \beta\%)$ 、 α は定数である。前と同じように $g_{or}/f(d_s)$ と $\tau \bar{u}$ の関係をしらべると \bar{u} と U_{*c} および $g_{or}/f(d_s)$ と U_{*c} の関係にくらべてバラッキはむしろ大きいかプロットはほぼ粒径別に分けられる。この傾向を示したのが $g_{or}/f(d_s) / \tau \bar{u} = e$ と $\tau \bar{u}$ の関係も粒径別に曲線で記入した図-10 である。これによれば粒径 $0.13\text{mm} \sim 1.2\text{mm}$ の範囲では e は粒径が小さくなるにつれて大きくなる。しかし 0.06mm 以下の粒径では必ずしもこの関係は成り立たず、また \bar{u} が増加すれば e の値は大きくなる。

全流砂量 g_{or} と $\tau \bar{u}$ の関係は図-6、図-8 と同程度であるが、 g_{or} と U_{*c} よりはやい相関を示している。従つて今回の実験に用いた程度の混合砂にたいしては g_{or} と $\tau \bar{u}$ の関係において、代表径を用いて全流砂量を求めることは実用上一定可能であると思われる。また g_{or} と U_{*c} の関係においても、移動床限界として 2-1 にのべたような混合砂床系にたいする限界値を考慮すればやはり全流砂量に因る実用計算は出来るものと思われる。

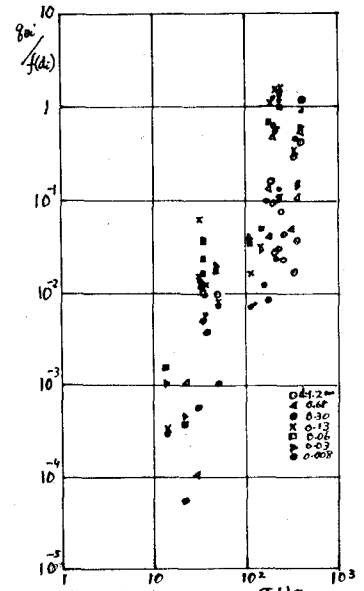


図-8 $g_{or}/f(d_s)$ と U_{*c} の関係

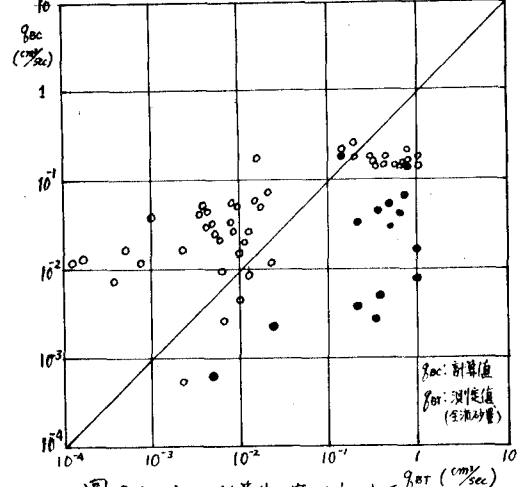


図-9 土研式による計算値と実測値の関係

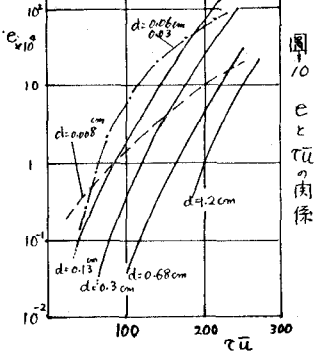


図-10 e と $\tau \bar{u}$ の関係